

(別紙)

文 献 等 目 録

【地震関係】

- ・ 壇ほか(2011):「長大横ずれ断層による内陸地震の平均動的応力降下量の推定と強震動予測のためのアスペリティモデルの設定方法への応用」壇一男・具典淑・入江紀嘉・アルズペイマサマン・石井やよい(甲106, 乙42)
- ・ 壇ほか(2012):「平均動的応力降下量を用いた長大な横ずれ断層のアスペリティモデルによる強震動の試算と考察」壇一男・具典淑・島津奈緒未・入江紀嘉(乙156)
- ・ 壇ほか(2016):「長大断層用の強震動予測レシピの検証(その1)長大横ずれ断層による1999年トルコKocaeli地震の事例」壇一男・具典淑・島津奈緒未・藤原広行・森川信之(乙158)
- ・ Fujii and Matsu'ura (2000):「Regional Difference in Scaling Laws for Large Earthquakes and its Tectonic Implication」Fujii, Yoshihiro and Mitsuhiro Matsu'ura
- ・ 後藤(2013):「1911年喜界島近海で発生した巨大地震の震源位置の再評価」後藤和彦(乙195)
- ・ 日向灘長期評価(2004):「日向灘および南西諸島海溝周辺の地震活動の長期評価 平成16年2月27日」地震調査委員会(甲161, 乙95)
- ・ 入江(2014):「動力学的断層破壊シミュレーションを用いた内陸横ずれ断層の強震動予測のための震源特性に関する研究」入江紀嘉(甲327)
- ・ 入倉・三宅(2001):「シナリオ地震の強震動予測」入倉孝次郎・三宅弘恵(甲126)
- ・ 神田ほか(2008):「豊後水道近傍で発生した歴史的被害地震の地震規模」神

- 田克久・武村雅之・高橋利昌・浅野彰洋・大内泰志・川崎真治・宇佐美龍夫
- ・ 加藤ほか(2004):「震源を事前に特定できない内陸地殻内地震による地震動レベルー地質学的調査による地震の分類と強震観測記録に基づく上限レベルの検討ー」加藤研一・宮腰勝義・武村雅之・井上大榮・上田圭一・壇一男(甲88, 乙27)
  - ・ 松田(1975):「活断層から発生する地震の規模と周期について」松田時彦(甲102, 乙150)
  - ・ Murotani et al. (2015):「Scaling relations of source parameters of earthquakes occurring on inland crustal megafault systems」Murotani, S.・S. Matsushima・T. Azuma・K. Irikura and S. Kitagawa(甲822)
  - ・ Noda et. al (2002):「Response spectra for design purpose of stiff structures on rock sites, OECD-NEA workshop on the relation between seismological data and seismic engineering analysis」Shizuo Noda・Kazuhiko Yashiro・Katsuya Takahashi・Masayuki Takemura・Susumu Ohno・Masanobu Tohdo・Takahide Watanabe
  - ・ 内閣府検討会(2012a):「南海トラフの巨大地震による震度分布・津波高について(第一次報告)」平成24年3月31日(乙185)
  - ・ 内閣府検討会(2012b):「南海トラフの巨大地震モデル検討会(第二次報告)強震断層モデル編ー強震断層モデルと震度分布についてー」平成24年8月29日(乙186)

- ・ 奥村ほか(2012):「距離減衰式に基づく地下深部の地震動評価手法に関する検討」奥村俊彦・藤川智・渡邊航平・窪田茂・末広俊夫・玉田潤一郎・藤崎淳(甲334)
- ・ Somerville et al. (1999):「Characterizing crustal earthquake slip models for the prediction of strong ground motion」Somerville, P. G.・K. Irikura・R. Graves・S. Sawada・D. Wald・N. Abrahamson・Y. Iwasaki・T. Kagawa・N. Smith and A. Kowada
- ・ 高橋ほか(2008):「17世紀以降に芸予地域に発生した被害地震の地震規模」高橋利昌・浅野彰洋・大内泰志・神田克久・武村雅之・宇佐美龍夫
- ・ 中央防災会議(2003):「東南海,南海地震等に関する専門調査会(第16回),東南海,南海地震に関する報告(案)図表集,平成15年12月16日」
- ・ 藤堂ほか(2012):「長大な横ずれ断層による内陸地震のアスペリティモデル設定方法の中央構造線への応用と強震動の試算」藤堂正喜・壇一男・具典淑・入江紀嘉・呉長江(乙157)
- ・ 予測地図(2014):「全国地震動予測地図2014年版～全国の地震動ハザードを概観して～平成26年12月地震本部地震調査委員会」(甲92,乙171)

#### 【火山関係】

- ・ Abe et al (2017):「Low-velocity zones in the crust beneath Aso caldera, Kyushu, Japan, derived from receiver function analyses」Y. Abe・T. Ohkura・T. Shibutani・K. Hirahara・S. Yoshikawa and H. Inoue. (乙417)
- ・ 藤井(2016):「わが国における火山噴火予知の現状と課題」藤井敏嗣(甲6)

53)

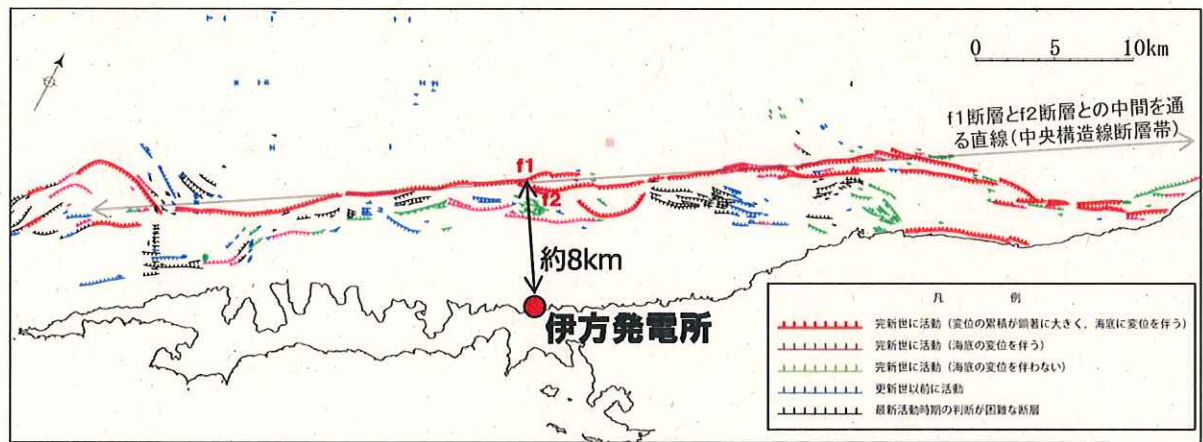
- ・ 小林(2017):「カルデラ噴火の前兆現象に関する地質学的研究」小林哲夫(乙372)
  - ・ 町田・新井(2011):「新編火山灰アトラス [日本列島とその周辺]」町田洋・新井房夫
  - ・ 三好ほか(2005):「阿蘇カルデラ形成後に活動した多様なマグマとそれらの成因関係について」三好雅也・長谷中利昭・佐野貴司(乙132)
  - ・ Nagaoka(1988):「The late Quaternary tephra layers from the caldera volcanoes in and around Kagoshima bay, southern Kyushu, Japan.:Nagaoka, S. (1988), Geographical Reports of Tokyo Metropolitan University, 23, 49-122.」
  - ・ 長岡ほか(2014):「九重火山のテフラ層序」長岡信治・奥野充
  - ・ 日本第四紀学会編(1987):「日本第四紀地図」
  - ・ 大倉(2017):「測地学的手法による火山活動の観測について」大倉敬宏(乙347)
  - ・ Sudo and Kong(2001):「Three-dimensional seismic velocity structure beneath Aso Volcano, Kyushu, Japan:Sudo, Y. and L. S. L. Kong (2001), Bull. Volcanol., 63, 326-344」
  - ・ 須藤ほか(2007):「わが国の降下火山灰データベース作成」須藤茂・猪股隆行・佐々木寿・向山栄
  - ・ 高倉ほか(2000):「MT法による阿蘇カルデラ比抵抗断面」高倉伸一・橋本武志・小池克明・小川康雄
- 以上

(別表)

基準地震動 S<sub>s</sub> の最大加速度

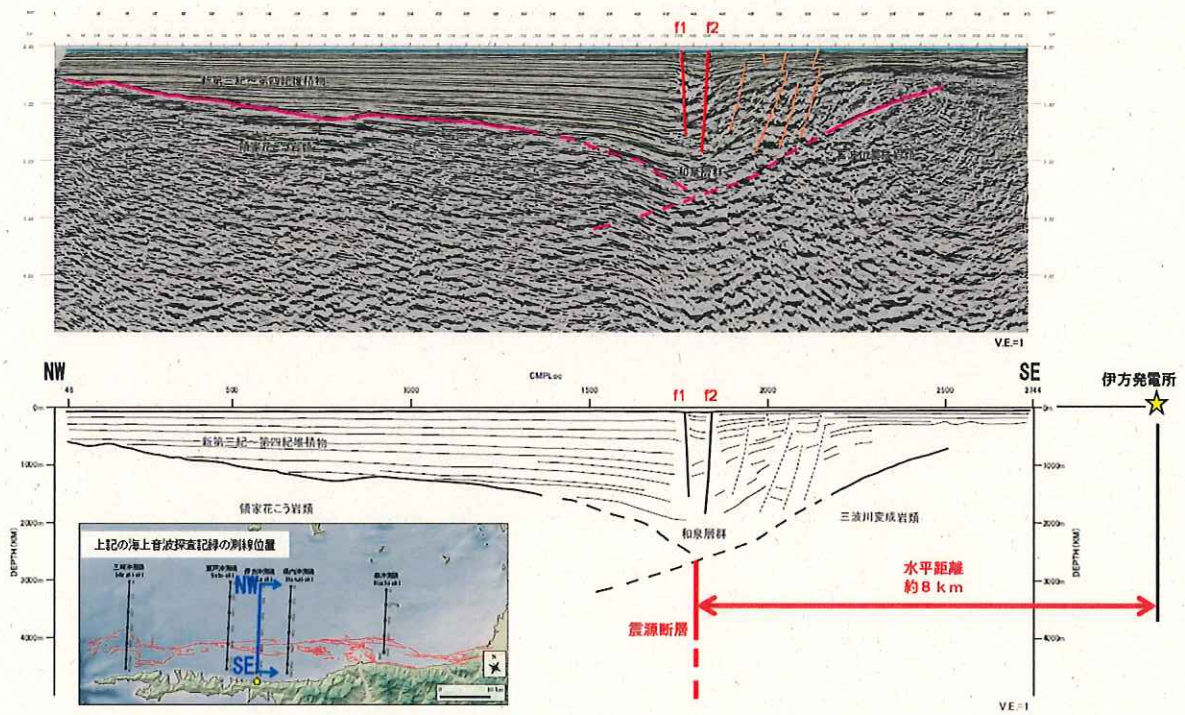
基準地震動 S <sub>s</sub>				最大加速度振幅 (cm/s <sup>2</sup> )		
震源を特定して策定する地震動	応答スペクトルに基づく手法による基準地震動 S <sub>s</sub>	設計用模擬地震波		水平動	S <sub>s</sub> -1H	650
				鉛直動	S <sub>s</sub> -1V	377
	断層モデルを用いた手法による基準地震動 S <sub>s</sub>	敷地前面海域の断層群 (中央構造線断層帯)	480km連動・壇の手法・ △σ 20MPa・西破壊	水平動 NS成分	S <sub>s</sub> -2-1NS	579
				水平動 EW成分	S <sub>s</sub> -2-1EW	390
				鉛直動 UD成分	S <sub>s</sub> -2-1UD	210
			480km連動・壇の手法・ △σ 20MPa・中央破壊	水平動 NS成分	S <sub>s</sub> -2-2NS	456
				水平動 EW成分	S <sub>s</sub> -2-2EW	478
				鉛直動 UD成分	S <sub>s</sub> -2-2UD	195
			480km連動・壇の手法・ △σ 20MPa・第1アスペリティ西破壊	水平動 NS成分	S <sub>s</sub> -2-3NS	371
				水平動 EW成分	S <sub>s</sub> -2-3EW	418
				鉛直動 UD成分	S <sub>s</sub> -2-3UD	263
			480km連動・F&Mの手法・ △σ 1.5倍・西破壊	水平動 NS成分	S <sub>s</sub> -2-4NS	452
				水平動 EW成分	S <sub>s</sub> -2-4EW	494
				鉛直動 UD成分	S <sub>s</sub> -2-4UD	280
			480km連動・F&Mの手法・ △σ 1.5倍・中央破壊	水平動 NS成分	S <sub>s</sub> -2-5NS	452
				水平動 EW成分	S <sub>s</sub> -2-5EW	388
				鉛直動 UD成分	S <sub>s</sub> -2-5UD	199
			480km連動・F&Mの手法・ △σ 1.5倍・東破壊	水平動 NS成分	S <sub>s</sub> -2-6NS	291
				水平動 EW成分	S <sub>s</sub> -2-6EW	360
				鉛直動 UD成分	S <sub>s</sub> -2-6UD	201
54km・入倉・三宅の手法・ △σ 1.5倍・中央破壊	水平動 NS成分	S <sub>s</sub> -2-7NS	458			
	水平動 EW成分	S <sub>s</sub> -2-7EW	371			
	鉛直動 UD成分	S <sub>s</sub> -2-7UD	178			
480km連動・壇の手法・ △σ 20MPa・中央破壊・ 入れ替え	水平動 NS成分	S <sub>s</sub> -2-8NS	478			
	水平動 EW成分	S <sub>s</sub> -2-8EW	456			
	鉛直動 UD成分	S <sub>s</sub> -2-8UD	195			
震源を特定せず策定する地震動	2004年北海道留萌支庁南部地震を考慮した地震動	水平動	S <sub>s</sub> -3-1H	620		
		鉛直動	S <sub>s</sub> -3-1V	320		
	2000年鳥取県西部地震賀祥ダムの観測記録	水平動 NS成分	S <sub>s</sub> -3-2NS	528		
		水平動 EW成分	S <sub>s</sub> -3-2EW	531		
		鉛直動 UD成分	S <sub>s</sub> -3-2UD	485		

(別紙図面 1)



中央構造線断層帯の震源断層の位置について

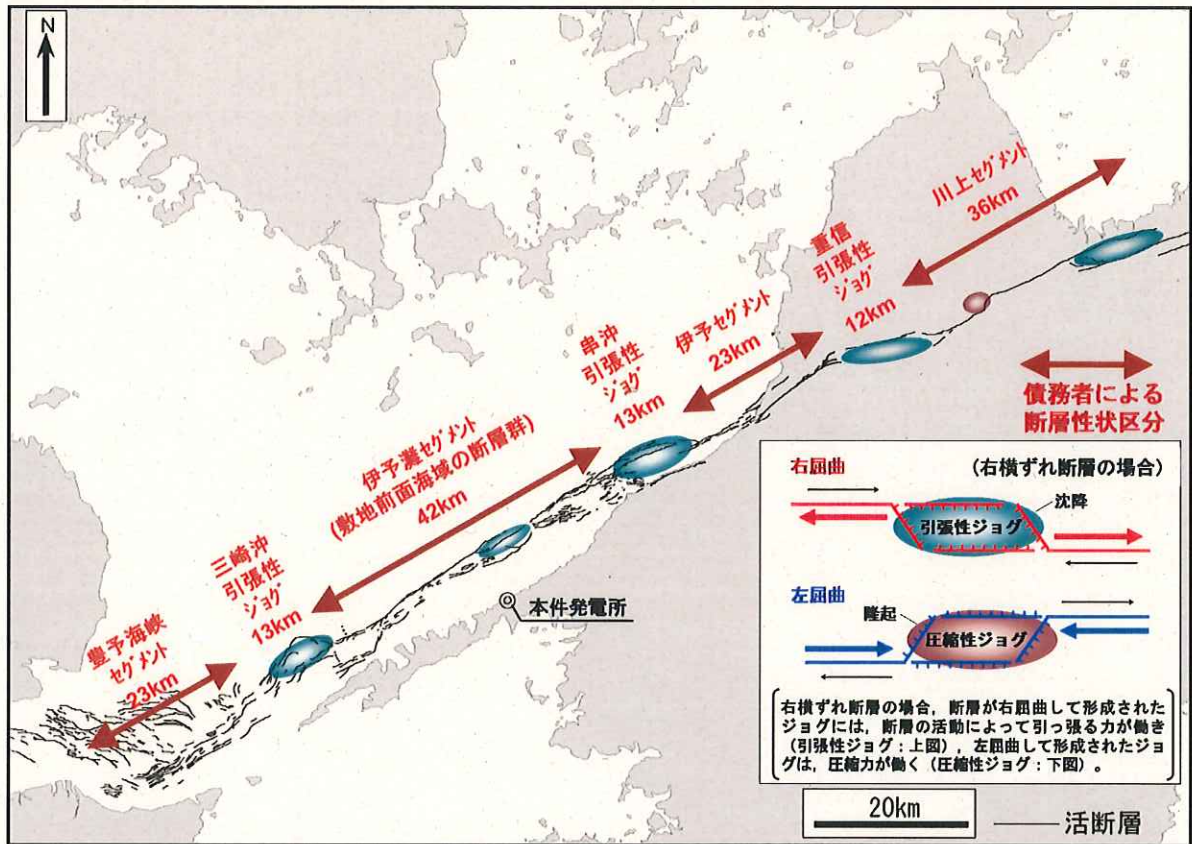
(別紙図面 2)



海底下深部の音波探査記録 (縦横比 1 : 1)



(別紙図面 3)

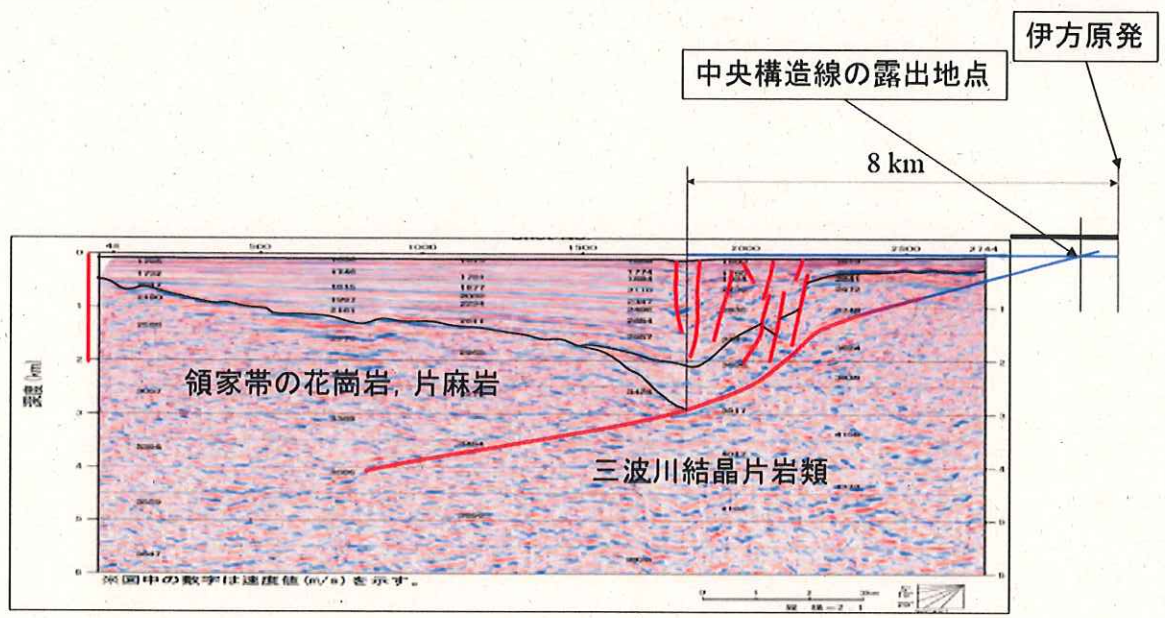


債務者の調査による四国北西部における中央構造線断層帯の区分



(別紙図面 4)

中央構造線は伊方原発の 600~800 m 沖を通る



伊方沖測線 C の深度断面  
四国電力 (2014) に加筆

(別紙図面 5)

